203400405 000 ФРЅПРФЅПРББРР U4U, ФБРРUЗР S БОДБИЦФБР ИЗВЕСТИЯ АКАДЕМИИ НАУК АРМЯНСКОЙ ССР

44ф4ш-бшрыбшш. фринцерневбые XVI, № 1, 1963 Физико-математические науки

АЭРОГИДРОМЕХАНИКА

А. М. Мхитарян, М. Г. Дагестанян

О температуре водоемов

Введение

По вопросу о температуре водоемов, необходимости ее расчета, разработке практических методов ее определения и предвычисления, а также организации соответствующих наблюдений имеются большие литературные данные. Здесь нет возможности останавливаться на этих работах. Некоторые из них приведены в списке литературы.

Знание температуры воды в водоемах, а также ее вертикального в горизонтального распределения очень важно для решения ряда прикладных задач, связанных с расчетами теплообмена в воде, характеристик турбулентности, течений и других вопросов их термики и термического режима.

Особо важное значение имеет формирование температуры поверхности воды, определяющей, наряду с другими факторами, испарение с поверхности водоема, конвективный теплообмен с атмосферой, собственное излучение и др.

Вопросу формирования температурного режима морей посвящена работа [19]. Вопрос этот в целом или некоторые его аспекты рассмотрены [3, 4, 13, 14, 18, 20, 23, 24] и др. Очень интересна работа [23], причем вопрос о температуре на границе раздела вода—воздух сейчас все еще остается в центре внимания исследователей, создаются специальные приборы для измерения температуры поверхности раззела, для измерения длинноволнового излучения и т. д.

Изучению термического режима озер и водохранилищ и некоторых его особенностей, таких как развитие и исчезновение слоев скачка температуры и т. д. посвящены частично или полностью работы [1, 7, 8, 14, 16, 17, 22, 23, 24] и др. В некоторых из них рассматривются экспериментальные [4, 7, 8, 16, 22] и теоретические методы [13, 20, 21, 22] расчета этой температуры.

Следует отметить, что температура воды в водоемах зависит как от приходной, так и от расходной частей теплового баланса, зависит она также от глубины и площади водоема, его географического расположения, прозрачности воды и т. д.

В работе [8] температура поверхности воды определяется в виде функции от температуры воздуха. Для больших и глубоких водоемов

эта функция имеет две ветви в виде вытянутого эллипса. Для малых и неглубоких водоемов обе ветви сливаются в одну прямую.

Б. Д. Зайков [8] картировал параметры этой прямой.

В работе [4] построена указанная зависимость и, кроме тогоиспользованы два других метода.

Наиболее универсальным является метод теплового баланса. Однако, с использованием этого метода [4, 21] и др., связан ряд затруднений. Заключаются эти трудности в отсутствии данных о составляющих теплового баланса, в сложности и трудоемкости производства расчетов. Кроме того, по методу определения теплозапасовлегко определяется средняя температура воды, а переход от последней к температуре поверхности требует принятия дополнительных гипотез, что также затрудняет практические применения этого метода.
Следует, однако, отметить, что метод теплового баланса физически
наиболее обоснованный и в настоящее время находит все большее
применение.

Проблема определения температуры подстилающей поверхности вообще, и водной поверхности в частности, из условия теплового баланса в настоящее время все еще недостаточно разработана, хотя и имеется ряд работ, в которых она успешно разрешена.

В [4] разработаны и приведены специальные графики и формулы, по которым довольно быстро и с достаточной для практических целей точностью эта температура может быть вычислена.

В работах [20, 21] предложен интересный способ определения температуры поверхности воды, основанный на совместном использовании уравнений теплового баланса и турбулентной теплопроводности.

В работе [16] температура поверхности воды оз. Севан определена на основании использования данных рейдовых наблюдений ва озере, на разных вертикалях и на берегу в одной точке, где тщательно изучался суточный ход этой температуры круглый год.

За недостатком места эти данные здесь не приводятся, но мы ими воспользуемся ниже.

§ 1. Распределение температуры воды по вертикали при переменном по глубине коэффициенте обмена

Рассмотрим уравнение турбулентной теплопроводности в водоеме при наличии течений и объемных источников тепла. Это уравнение имеет вид

$$\frac{\partial T}{\partial t} + u \frac{\partial T}{\partial x} + w \frac{\partial T}{\partial z} = \frac{\partial}{\partial z} \left(k \frac{\partial T}{\partial z} \right) + k_1 \Delta T + \varepsilon. \tag{1.1}$$

Здесь: начало координат расположено на поверхности воды, z направлено вертикально вниз, x— по направлению скорости течения, u, w— составляющие скорости течения по осям x и z, T— температура воды, k и k_1 — коэффициенты обмена по вертикали и горизонтали, Δ — оператор Лапласа, ε — приток тепла.

В качестве источника тепла в воде мы рассмотрим проникающую радиацию [2, 11, 17, 25]. На поверхность воды приходит суммарная радиация S_0 . Альбедо водной поверхности обозначим через A[5, 6, 10, 11], коэффициент поглощения через α ; тогда можно написать

$$\varepsilon = S_0 \left(1 - A \right) \frac{\alpha e^{-\alpha z}}{c^* \rho^*}. \tag{1.2}$$

Наблюдения показывают, что α зависит в основном от прозрачности воды и несколько от глубины. Для данного водоема мы будем считать $\alpha = \text{const}$, причем для такого прозрачного водоема, каким являнся оз. Севан $\alpha \cong 0.5 \ \text{м}^{-1}$, в то время, как для Цимлянского водохранияща этот коэффициент равен 2,2, для оз. Красавица — 4,6 и т. д.

Произведем оценку членов уравнения (1.1) на примере условий оз. Севан.

Характерное среднее годовое значение суммарной радиации на вз. Севан имеет порядок $S_0 = 0.3 \cdot 10^{-2} \kappa a.n.$ см⁻² сек⁻¹, альбедо порядка 0,1, причем в зависимости от степени волнения несколько мевяется. Тогда легко убедиться, что в условиях оз. Севан последний справа член уравнения (1.1), согласно (1.2), имеет порядок 10^{-6} град сек⁻¹. Такого же порядка оказываются первые члены справа в слева, если рассматривать годовой ход темперетуры [17]. Остальные члены малы, поэтому вместо (1.1) приближенно можно взять

$$\frac{\partial T}{\partial t} = \frac{\partial}{\partial z} \left(k \frac{\partial T}{\partial z} \right) + \frac{S_0 (1 - A) \alpha e^{-\alpha z}}{c^* p^*}$$
(1.3)

В этом параграфе мы рассмотрим задачу для случая, когда k

$$k = k_1 - \frac{k_1 - k_0}{h} z, \quad z \leqslant h,$$

$$k = k_0, \qquad z > h.$$
(1.4)

Здесь: k_1 — значение k на поверхности воды, k_0 — молекулярный коэффициент, h — некоторая глубина, имеющая порядок мощности слоя скачка.

При решении задачи начальных условий ставить не будем, так как нщется периодическое решение. Что касается граничных условий, примем постоянной температуру на больших глубинах, а на поверхности воды зададим годовой ход. Последний возьмем из наблюдений, а ниже покажем как можно определить этот ход из условия баланса.

Прежде чем приступить к решению, положим

$$T(z, x, t) = \overline{T}(x, z) + T'(x, z, t); \frac{S_0(1 - A)\alpha}{c^* \rho^*} = \overline{S}_0(x) + S'(x, t). \quad (1.5)$$

Подставляя (1.5) в (1.3), получим

$$0 = \frac{\partial}{\partial z} \left(k \frac{\partial \overline{T}}{\partial z} \right) + \overline{S}_0 e^{-\alpha z}, \qquad (1.6)$$

$$\frac{\partial T'}{\partial t} = \frac{\partial}{\partial z} \left(k \frac{\partial T'}{\partial z} \right) + S' e^{-sz}. \tag{1.7}$$

Стационарная часть (1.6) будет рассмотрена ниже. Введем безразмер-

$$z = \zeta h$$
, $t = t_0 t_1 = \frac{t_1}{\Omega}$, $T' = \tilde{T} T_1$, $S' = \Omega \tilde{T} S_1$, (1.8)

За характерное время принято $\frac{1}{\Omega}$, где $\Omega=2.10^{-7}$ $ce\kappa^{-1}$ — угловая скорость вращения земли вокруг солнца.

Подставляя (1.4) и (1.8) в (1.7), отбрасывая для простоты индексы и обозначая

$$\bar{a} = ah, \quad \bar{k} = \frac{k}{\Omega h^2}, \quad a = \frac{(k_1 - k_0)}{k_1},$$

$$\bar{k} = \bar{k}_1 (1 - a\zeta), \quad \zeta \leq 1,$$

$$\bar{k} = \bar{k}_1 (1 - a) = \bar{k}_0, \quad \zeta > 1,$$
(1.9)

получим

Для второго слоя в уравнении (1.10) последний член можно отбросить без больших погрешностей.

Граничные условия имеют вид:

1. При
$$\zeta = 0$$
 $T_1 = T_0(x, t)$,
2. При $\zeta \to \infty$ $T_2 = 0$, (1.11)

3. При
$$\zeta = 1$$
 $T_1 = T_2$ и $\frac{\partial T_1}{\partial \zeta} = \frac{\partial T_2}{\partial \zeta}$.

Так как температуру поверхности воды считаем известной, целесообразно представить ее в виде ряда

$$T_{0} = \sum_{n=1}^{\infty} [T_{n}(x) \cos nt + T_{n}(x) \sin nt], \qquad (1.12)$$

Кроме того, можно в таком же виде представить известную функцию S.

$$S = \sum_{n=1}^{\infty} \left[\beta_n \left(x \right) \cos nt + \beta_n \left(x \right) \sin nt \right]. \tag{1.13}$$

Представим решение наших уравнений в таком же виде

$$T_{t} = \sum_{n=1}^{\infty} [A_{n}(x, \zeta) \cos nt + B_{n}(x, \zeta) \sin nt],$$

$$T_{2} = \sum_{n=1}^{\infty} [C_{n}(x, \zeta) \cos nt + D_{n}(x, \zeta) \sin nt].$$
(1.14)

Подставляя (1.14) в (1.10), вводя обозначения $A_n + iB_n = u_n$, $C_r + iD_n = v_n$, $\beta_n + i\beta_n' = L_n$, получим

$$\bar{k}_1(1-a\zeta)\frac{\partial^2 u_n}{\partial \zeta^2} - a\bar{k}_1\frac{\partial u_n}{\partial \zeta} + inu_n = -L_n e^{-a\zeta},$$
 (1.15)

$$\frac{\partial^2 v_n}{\partial z^2} + \frac{in}{\bar{k}_0} v_n = -\frac{L_n}{\bar{k}_0} e^{-\bar{a}z}. \tag{1.16}$$

В уравнении (1.15) сделаем замену переменной

$$y_n = \frac{2}{a} \sqrt{\frac{in}{\bar{k}_1} (1 - a\zeta)} \qquad (1.17)$$

Тогда легко убедиться, что наши уравнения имеют следующие решения

$$u_{n} = c_{1, n} I_{0}(y_{n}) + c_{2, n} H_{0}(y_{n}) + \frac{i\pi L_{n}}{a\bar{k}_{1}} I_{0}(y_{n}) \int_{0}^{z} H_{0}(y_{n}) e^{-\bar{s}z} dz +$$

$$+\frac{i\pi L_n}{a\bar{k}_1}H_0(y_n)\int_{\zeta}^{\frac{1}{2}}I_0(y_n)e^{-\frac{i}{a\zeta}}d\zeta, \qquad (1.18)$$

$$v_n = c_{3, n}e^{-\sigma_n (1-l)(\zeta-1)} - \frac{L_n e^{-a\zeta}}{\bar{k}_0 (\bar{\alpha}^2 + 2l\sigma_n^2)}$$
 (1.19)

$$\sigma_n = \sqrt{\frac{n}{2\bar{k_0}}}$$
 (1.20)

Здесь: I_0 и H_0 — функции Бесселя и Ханкеля [26].

Как видно из (1.19), условие на больших глубинах удовлетворено. Постоянные интегрирования c_1 , n, c_2 , n и c_3 , n, зависящие в общем случае от x, должны быть определены из условий

1. При
$$\zeta = 0$$
 $u_n = T_n + iT'_n$,
2. При $\zeta = 1$ $u_n = v_n$ и $\frac{\partial u_n}{\partial \zeta} = \frac{\partial v_n}{\partial \zeta}$. (1.21)

Если обозначить

$$D_n^{-1} = H_0(y_n^0) \left[I_0(y_n') + i I_1(y_n') \right] - I_0(y_n^0) \left[H_0(y_n') + i H_1(y_n') \right]. \tag{1.22}$$

$$y_n^0 = \frac{2}{a} \sqrt{\frac{ln}{k_1}}, \quad y_n' = \frac{2}{a} \sqrt{\frac{ln}{k_1} (1 - a)},$$
 (1.23)

для $c_{l,n}$ получим следующие выражения

$$c_{1, n} = D_{n} \{N_{n}[H_{0}(y'_{n}) + iH_{1}(y'_{n}) - M_{n}H_{0}(y^{0}_{n})]\},$$

$$c_{2, n} = -D_{n} \{N_{n}[I_{0}(y'_{n}) + iI_{1}(y'_{n}) - M_{n}I_{0}(y^{0}_{n})]\},$$

$$c_{3, n} = c_{1, n}I_{0}(y'_{n}) + c_{2, n}H_{0}(y'_{n}) + \frac{i\pi L_{n}}{a\bar{k}_{1}}I_{0}(y'_{n}) \int_{0}^{1} H_{0}e^{-\bar{s}\xi}d\xi. \quad (1.24)$$

$$N_{n} = \frac{i\pi L_{n}}{a\bar{k}_{1}}H_{0}(y^{0}_{n}) \int_{0}^{1} I_{0}(y_{n}) e^{-\bar{s}\xi}d\xi. - (T_{n} + iT'_{n}),$$

$$M_{n} = \frac{i\pi L_{n}}{a\bar{k}_{1}}[I_{0}(y'_{n}) + iI_{1}(y'_{n})] \int_{0}^{1} H_{0}e^{-\bar{s}\xi}d\xi. \quad (1.25)$$

Отделяя теперь действительные и мнимые части (1.18) и (1.19), легко определить коэффициенты A_n , B_n , C_n и D_n , а по (1.14) — определить температуру. В дальнейшем для расчета необходимо знать градиент температуры, в частности при $\zeta = 0$. Его легко определить, продиференцировав (1.18) по ζ . Эти выкладки злесь не приводятся за недостатком места.

§ 2. Распределение температуры воды по вертикали при переменном по глубине и времени коэффициенте обмена

В этом случае будет рассмотрено уравнение (1.3), но для k положим

$$k = k_1 \left(1 - a \frac{z}{h}\right) (1 + \delta \cos \Omega t), \quad z \leqslant h,$$

$$k = k_0 \left(1 + \delta \cos \Omega t\right), \quad z > h.$$
(2.1)

Здесь в характеризует амплитуду колебаний к.

Переходя к тем же безразмерным величинам, получим

$$\zeta \leqslant 1 \qquad \frac{\partial T_1}{\partial \zeta} = \bar{k}_1 \left(1 + \delta \cos t \right) \frac{\partial}{\partial \zeta} \left[\left(1 - a\zeta \right) \frac{\partial T_1}{\partial \zeta} \right] + Se^{-\bar{a}\zeta},$$

$$\zeta > 1 \qquad \frac{\partial T_2}{\partial \zeta} = \bar{k}_0 \left(1 + \delta \cos t \right) \frac{\partial^2 T_2}{\partial \zeta^2} + Se^{-\bar{a}\zeta}.$$
(2.2)

Введем вместо t новую переменную

$$\tau = t + \delta \sin t. \tag{2.3}$$

Тогда вместо (1.10) получим

$$\zeta \leqslant 1 \qquad \frac{\partial T_1}{\partial \tau} = \bar{k}_1 \frac{\partial}{\partial \zeta} \left[(1 - a\zeta) \frac{\partial T_1}{\partial \zeta} \right] + f(\tau) e^{-\bar{a}\zeta},$$

$$\zeta > 1 \qquad \frac{\partial T_2}{\partial \tau} = \bar{k}_0 \frac{\partial^2 T_2}{\partial \zeta^2} + f(\tau) e^{-\bar{a}\zeta}.$$
(2.4)

Таким образом, наши уравнения в этом случае (2.4) по виду полностью совпадают с (1.10), только теперь вместо переменной t входит τ .

Обратимся к граничным условиям (1.11). Из них три (2 и 3) остаются без изменений. Изменяется лишь первое.

Это условие следует переписать по новой переменной с. Сделать это можно двумя способами.

Согласно определению, из (1.12) имеем

$$T_{m} = \frac{1}{\pi} \int_{0}^{2\pi} T_{0}(x, t) \cos mt dt,$$

$$T_{m} = \frac{1}{\pi} \int_{0}^{2\pi} T_{0}(x, t) \sin mt dt.$$
(2.5)

Теперь, если положить для фиксированного т

$$T_m \cos mt(\tau) + T_m \sin mt(\tau) = F_m(\tau),$$
 (2.6)

$$F_m(\tau) = \sum_{n=1}^{\infty} (F_n^n \cos n\tau + F_n^{'m} \sin n\tau), \qquad (2.7)$$

подставить (2.6) в (1.12), воспользуясь при этом (2.7), и переменить порядок суммирования, получим

$$T_0(x, \tau) = \sum_{n=0}^{\infty} \left[\overline{T}_n(x) \cos n\tau + \overline{T}'_n(x) \sin n\tau \right]. \tag{2.8}$$

$$\overline{T}_n = \sum_{m=1}^{\infty} F_n^m; \qquad \overline{T}_n' = \sum_{m=1}^{\infty} F_n^{'m}. \tag{2.9}$$

Точно также можно переразложить $f(\tau)$. Обозначим коэффициенты через $\bar{\beta}_n$, $\bar{\beta}'_n$.

Указанное переразложение можно выполнить и графически. Ниже будет показан такой пример.

Решения для стационарных частей можно написать без труда. Опуская выкладки, выпишем результаты

$$\overline{T}_{1} = \widetilde{T}_{0} - \frac{c_{1}}{a\overline{k}_{1}} \ln \frac{1}{1 - a\zeta} + \frac{\overline{S}\mathcal{U}}{\overline{k}_{1}\overline{\alpha}},$$

$$\overline{T}_{2} = T_{H} + \frac{c_{1}}{\overline{k}_{2}} (\zeta_{H} - \zeta), \qquad \mathcal{U} = \int_{0}^{\zeta} \frac{e^{-\alpha\zeta}d\zeta}{1 - a\zeta}.$$
(2.10)

Отметим, что в случае мутных водоемов, когда суммарная солнечная радиация в основном поглощается в тонком приповерхностном слое $(x\to\infty)$, решения значительно упрощаются. В этом случае надо лишь полагать S=0 или $\beta_n=\beta_n'=0$.

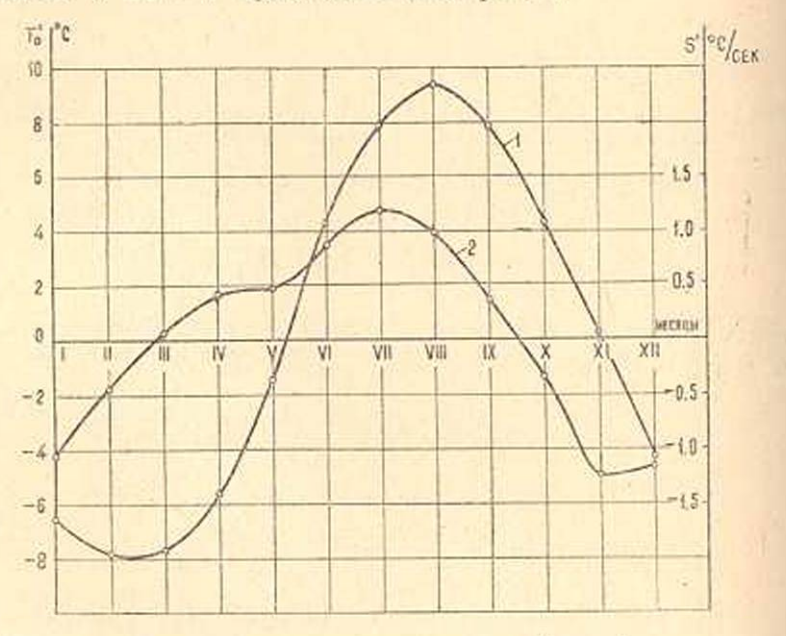
§ 3. Расчет примеров и сравнение полученных результатов с данными наблюдений

В качестве примера расчета рассмотрим вертикаль оз. Севан при глубине $H = 50 \ \text{м}$.

Как исходные данные необходимо задать годовой ход температуры поверхности, температуру на дне, приток суммарной радиаши к поверхности, альбедо водной поверхности и коэффициент поглощения.

Данные о $T_0(t)$, \widetilde{T}_0 и $T_0'(t)$, а также \widetilde{S}_0 и S'(t) приведены $\mathbb S$ [16, 17].

Данные о T_0' и S' представлены на фиг. 1.



Фиг. 1, Годовой ход величии; $1-T_0^i$; $2-S^i$.

Эти величины разложены в ряды (1.12) и (1.13) и определены коэффициенты разложения, которые далее будут использованы.

Рассмотрим следующие восемь различных случаев, соответствующих $k=k\left(z\right)$, которые пометим как I, далее будут рассмотрены эти же восемь случаев при $k=k\left(z,\,t\right)$, пометим их как II. Необходимые данные соберем в табл 1.

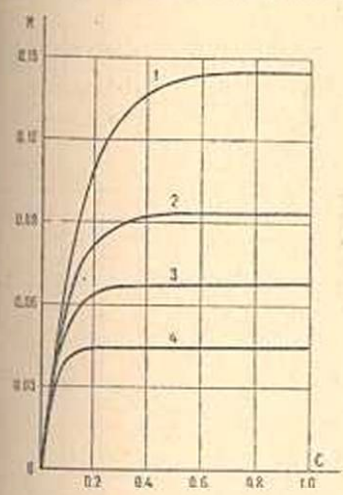
Таблица 1 Случан 1, 1, 1 L 1. 1, I, k, cm2 cen-1 1.0 4.0 1.0 4.0 1.0 4.0 1.0 4.0 a. M-1 0.4 0.4 0.8 0.8 0.4 0.4 0.8 0.8 h. M 20 20 20 20 30 30 30 30 c, -10 1.08 0.90 0.87 0.84 1.02 0.88 0.84 0.83

Во всех случаях принато $k_0 = 10^{-6} \mu^2 \, cek^{-1}$.

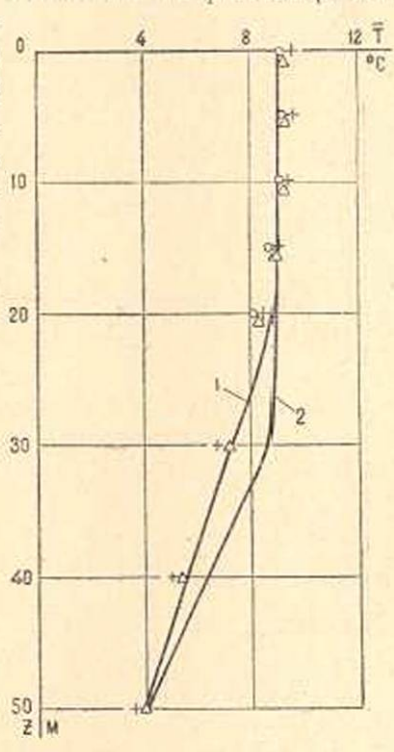
Результаты расчета интеграла (2.10) приведены на фиг. 2. Имея эти данные, легко построить профили стационарного распределения температуры. Эти результаты представлены на фиг. 3.

На этот же рисунок нанесены результаты фактических наблюлений за 1956—60 гг., проведенных Севайской гидрометеорологиче-

ской обсерваторией на трех вертикалях озера. В точке № 1 (кружки) глубина порядка 18, в точке № 2 (крестики) — 55 и № 3 (треугольничкв) — 75 м. Совпадение рассчитанного и наблюденного профилей температуры следует признать удовлетворитель-



Фиг. 2. Интеграл И для случлен: 1-1₁₋₂, 2-1₃₋₄; 3-1₅₋₆; 4-1₇₋₈.

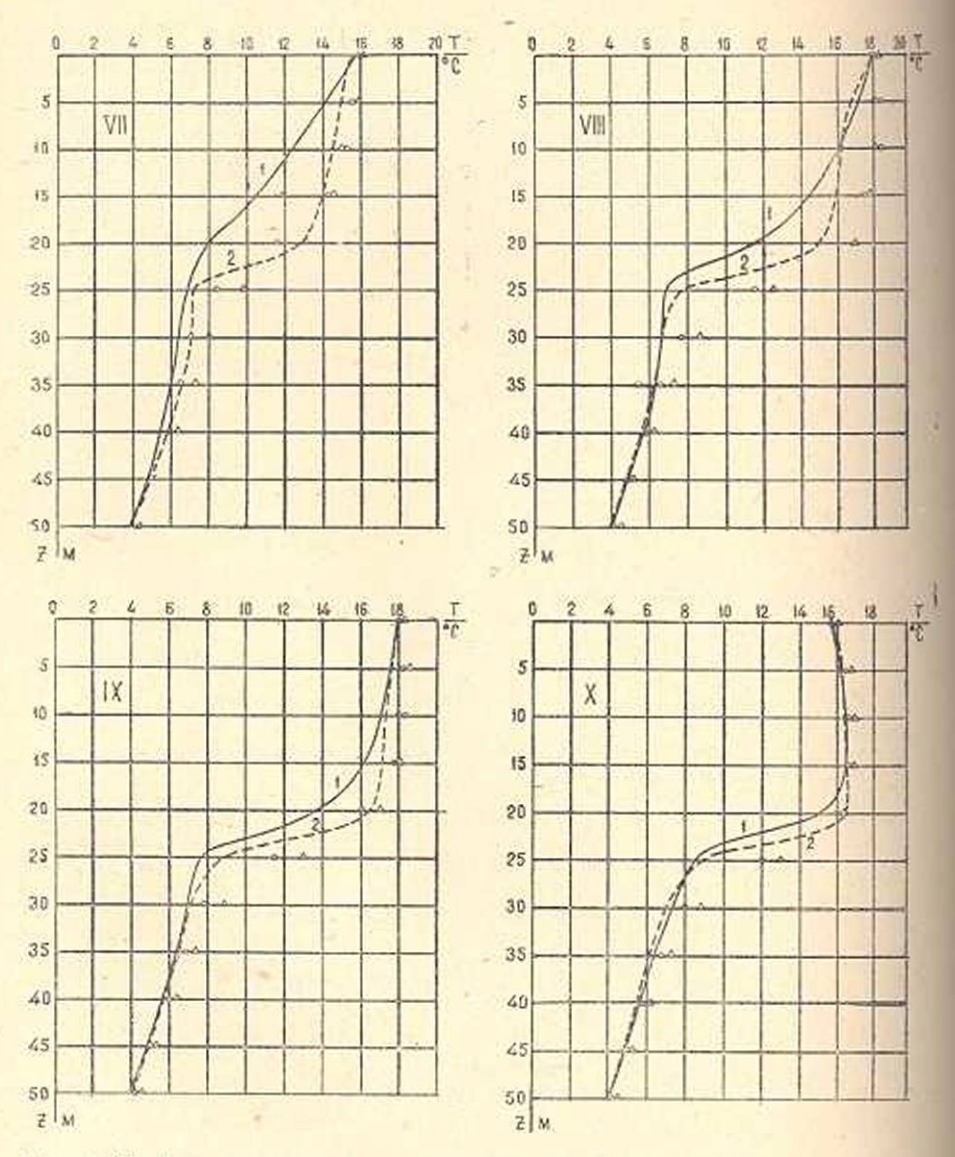


Фиг. 3. Профиль стационарной температуры при S=0. 1-h=20 м; 2-h=30 м. Опытные точки для вертикалей: $\Delta-3$; +-2; $\bigcirc-1$.

вым для случая h = 20 м. Перейдем к результатам расчета нестациоварных отклонений температуры по схеме 1. За недостатком места приведем лишь некоторые результаты.

На фиг. 4 и 5 приведены для сравнения профили температуры, рассчитанные и наблюденные для четырех месяцев. Так, на фиг. 4 для S=0 и h = 20 м сплошные кривые соответствуют расчету для случаев I₁ и I₃, пунктирная — I₂ и I₄. Здесь же нанесены разультаты наблюдений за 1956—60 гг. на оз. Севан на вертикали № 2 кружжами и на вертикали № 3 треугольничками. На фиг. 5 приводятся такие же данные для тех же месяцев, но результаты расчета здесь представлены для случая, когда учитывалась проникающая радиация.

Подобные же расчеты проводились и для II случая, по здесь они не приводятся за недостатком места. Приведем лишь пример (фиг. 6) перестроения величин T_0 и f с "нормального" времени t на "деформированное" τ .



Фиг. 4. Профили температуры, рассчитанные при S=0 и h=120 м: $1-I_1$; $2-I_2$ $3-I_3$; $4-I_4$, наблюденные на вертикалях: -2; -2; -3.

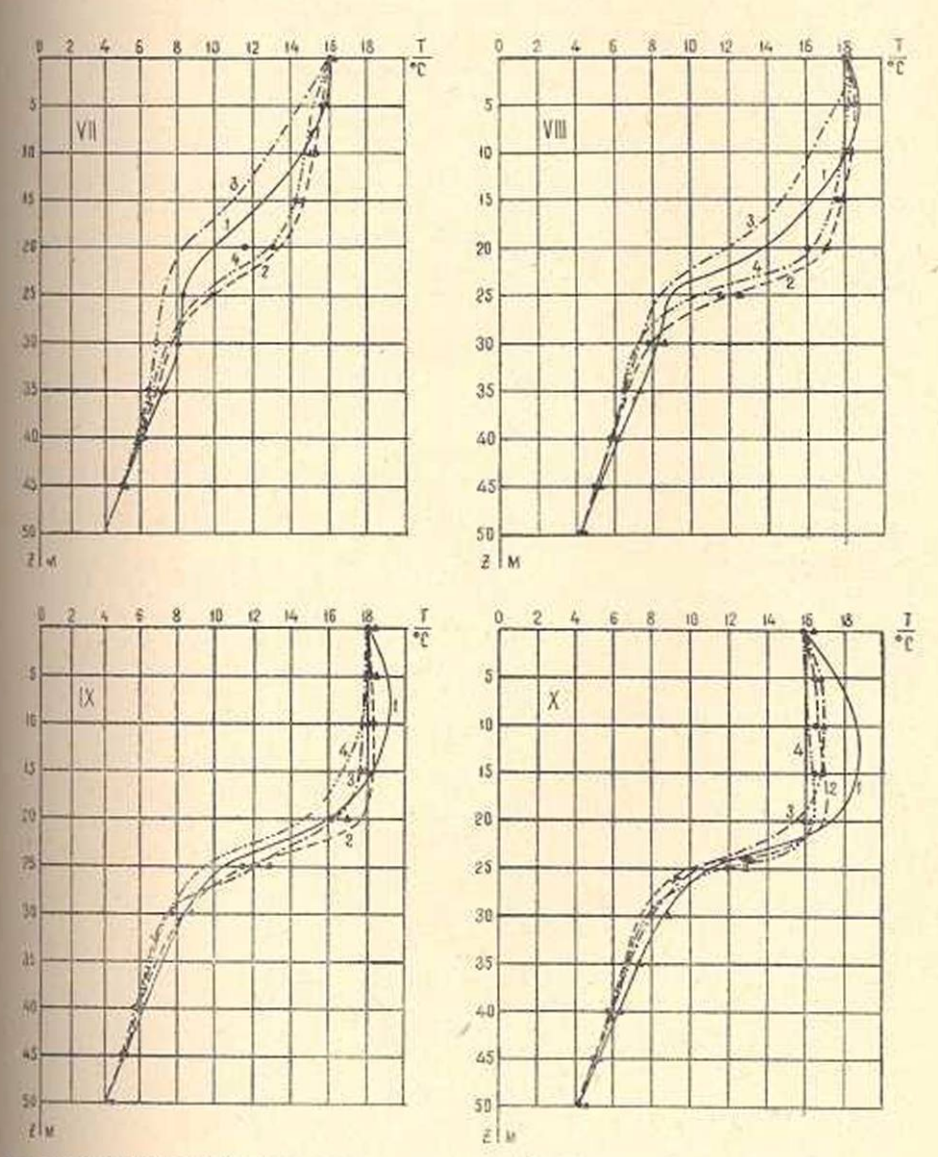
Осредним температуру воды по вертикали

$$T_{cp}(t) = \frac{1}{H} \int_{b}^{H} T(z, t) dz$$
 (3.1)

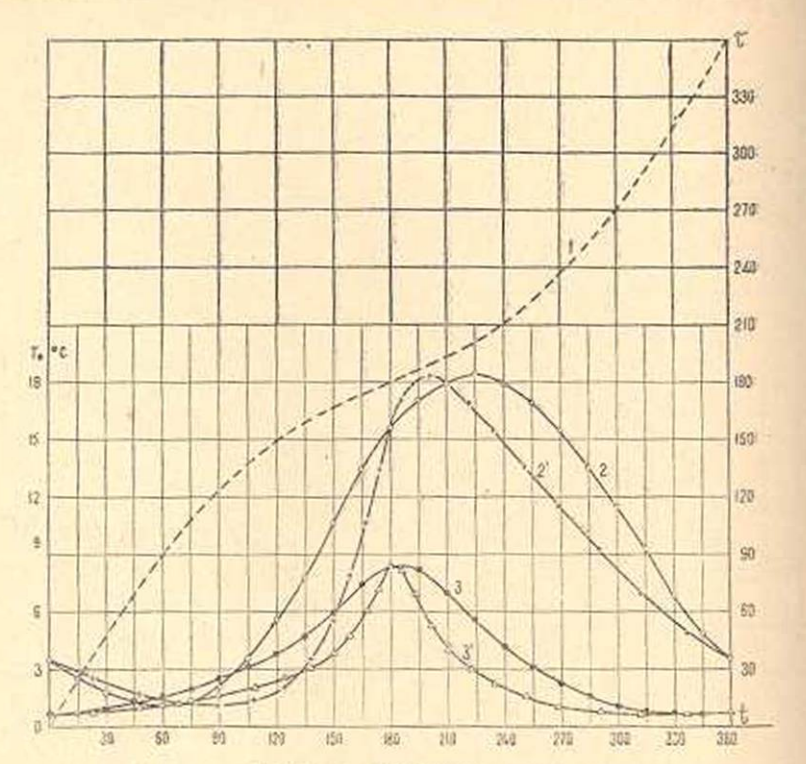
и введем величину

$$\mu(t) = \frac{T_{cp}(t)}{T_0(t)}, \qquad (3.2)$$

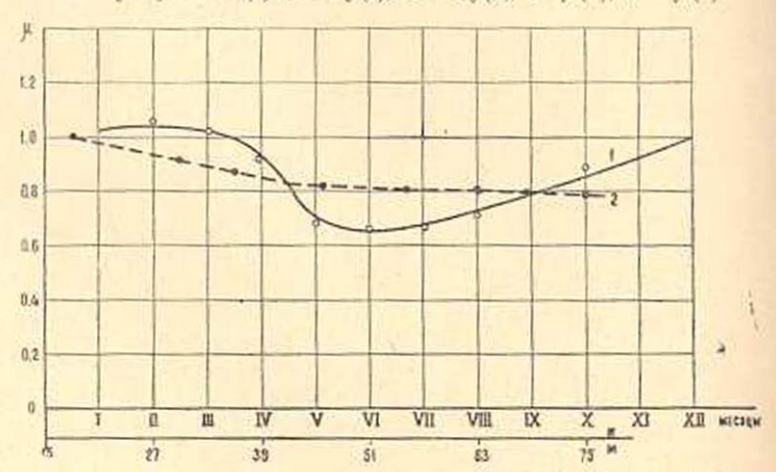
где $T_{0}\left(t
ight) -$ годовой ход температуры поверхности воды.



Фиг. 5. Профили температуры, рассчитанные при $S \neq 0$ и h=20 лг; $1-l_1$; $2-l_2$; $3-l_3$ 7 $4-l_4$, наблюденные на вертикалях; $\blacksquare -2$; $\blacktriangle -3$.



Фиг. 6. "Нормальный" (t) и "деформированный" годовой ход величин T_0 и f: 1— τ (t); 2 – T_0 (t); 2^i – T_0 (τ); 3 – f(t); 3 – f(τ).



Фиг. 7. Зависимость и от времени (1) и глубины (2). ○-вертикаль 9.

Тогда по фактическим наблюдениям за 1956—60 гг. на различных вертикалях оз. Севан получаем для р картину, представленную на фиг. 7 для всего озера. На этом рисунке сплошной кривой представлен годовой ход среднего по всему озеру значения р. Здесь же светлыми кружками нанесены значения р для тех вертикалей, которые имеют глубину 35—37 м. Пунктирной кривой представлена зависимость среднего годового значения р на данной вертикали от глубины.

§ 4. Выводы

Анализ полученных результатов и сравнение с данными фактических наблюдений позволяют сделать ряд важных теоретических и практических выводов. Приведем некоторые из них.

- 1. В случае стационарного распределения температуры воды поглубине (которое имело бы место, если бы приток тепла от солнца и его поглощение водными массами оставались постоянными и равшими их среднему годовому значению, тепловое перемешивание происходило бы с одинаковой интенсивностью, а температура поверхпости воды оставалась бы постоянной и равной ее фактическому греднему годовому значению) градиент температуры у поверхности воды был бы постоянной отрицательной величиной для случая S=0и, наоборот, постоянной положительной величиной при $S \neq 0$. Это означает, что в случае без учета проникающей радиации имеет место пление температуры по глубине, в то время, как при учете указанвого фактора температура с глубиной несколько растет, достигая смего максимального значения на определенной глубине, далее уменьшается до своего постоянного значения на дне водоема. Как покамвают расчеты, увеличение коэффициента поглощения приводит к уменьшению положительного температурного градиента у поверхюсти воды, а при очень большом а, т, е, когда вся солнечная ражация, за исключением отраженной ее части, целиком поглощается тонком приповерхностном слое воды, что имеет место в "мутных" одоемах, профиль температуры приближается к таковому для слу-S = 0. Отметим также, что в последнем случае профиль темпевтуры дается не прямой линией, как это было в [17], а кривой (2.10); магодаря тому, что здесь принято k = k(z). Поэтому в этом случае. отличне от [17], и температура и ее градиент зависят как от озффициента перемешивания, так и от глубины водоема, темперауры воды у дна и др.
 - 2. Уменьшение коэффициента поглощения приводит к увеличевю положительного температурного градиента, если коэффициент
 еремешивания остается неизменным. С ростом же любого из двух
 оэффициентов х и k этот градиент уменьшается. Дальнейшее их совестное увеличение уже играет значительно меньшую роль. Это легкобъяснить тем, что увеличение коэффициента обмена приводит к боее нитенсивному турбулентному перемешиванию, а следовательно,
 к выравниванию температур на разных глубинах. Увеличение же
 вэффициента поглощения равносильно уменьшению проникновения
 инечной радиации, что также способствует уменьшению градиента,
 зобенно у приповерхностных слоев.
 - 3. Переходя к нестационарному распределению температуры воц, обусловленному нестационарным перемешиванием и поглощением цаечной радиации, зависящими от глубины и времени, отметим, чтомый главный вывод здесь заключается в том, что учет зависимости-

коэффициента турбулентного перемешивания от времени по II схеме, наряду с зависимостью от глубины, почти не улучшает полученные результаты по сравнению с I схемой, в которой учитывается зависимость этого коэффициента от одной лишь глубины. Указанный учет несколько улучшает результаты расчета турбулентного теплообмена в воде. Исходя из этого, в дальнейшем сравнение с фактическими данными проводится лишь для I схемы.

4. Влияние поглощенной солнечной радиации на распределение температуры воды зависит от величины самой радиации и от коэффициента поглощения. Это влияние сказывается до глубины 15-18 и для прозрачных водоемов, у которых $\alpha < 0.5$ м $^{-1}$ и до очень вебольших глубин для мутных водоемов, у которых $\alpha > 2$ м $^{-1}$. Для первых водоемов учет этого фактора необходим. В частности, для оз. Севан с $\alpha \approx 0.4$ м $^{-1}$ проникающая радиация сказывается до глубин порядка мощности слоя турбулентного перемешивания и учет этого фактора приводит к значительно лучшим результатам. Указанное влияние увеличивается при увеличении притока солнечной радиации к поверхности воды и при уменьшении коэффициента поглощения

Непосредственные наблюдения на оз. Севан и на значительно более мутном Артанишском реликтовом озере подтверждают этот вывод.

5. При одном и том же коэффициенте турбулентного перемешивания увеличение коэффициента поглощения приводит к увеличению отрицательных градиентов температуры, что соответствует усилению прогрева водных масс летом, и к уменьшению положительных градиентов температуры, что соответствует ослаблению охлаждения водных масс зимой. Такое "сглаживание" происходит в значительно меньшей степени, чем в случае, когда k = const [17]. При одном и том же коэффициенте поглощения, как и в случае отсутствия пронякающей радиации, увеличение коэффициента перемешивания (k1 иля h) приводит к уменьшению градиента температуры.

6. Амплитуда температурных колебаний с глубиной затухает, в наступление ее максимального и минимального значений запаздывает, феоз эж мот и мондо идп кинэдлоглоп тенницифеоз и том же коэффициенте перемешивания сказывается в основном на амплитуде волны. Это влияние сначала несколько увеличивается до некоторой глубина, зависящей от а, а затем затухает. Что касается фазы запаздывания. о на полностью определяется коэффициентом перемешивания. Этог очень важный вывод дает физическое объяснение известному факту. полученному в [25], в полном согласии с которым значения коэффициента переменнивания, рассчитанные по амплитуде и фазе температурной волны, не совпадают. В известной степени теперь это ставовится понятным. Подчеркнем еще раз, это является следствием того, что фаза волны полностью определяется турбулентным перемешиванием, в то время, как амплитуда волны определяется как турбулентным перемешиванием, так и проникающей солнечной рыдиацией, точнее, законом поглощения этой радиации.

- 7. Результаты расчета по I схеме, при k=k (z) и $S \neq 0$, значительно лучше совпадают с данными фактических наблюдений, чем результаты расчета по схеме k= const и S=0 [15] или k= const, $S \neq 0$ [17]. Выводы, полученные в [17], подтверждаются, но в данном случае получен ряд новых выводов, которые не могли быть получены ни по схеме [15], ни [17], и, кроме того, ряд выводов из [17] улучшается количественно в сторону лучшего совпадения теории с данными наблюдений. Таким образом, приходим к важному выводу о том, что при расчетах для прозрачных водоемов необходимо учесты проникающую радиацию и, кроме того, весьма существенно ввести зависимость коэффициента перемешивания от глубины.
- 8. В зимние месяцы устанавливается гомотермия и даже обратная стратификация, температура с глубиной несколько увеличивается. Наблюдения подтверждают этот вывод. Здесь также в количественном отношении имеет место значительно лучшее согласие теории с двиными наблюдений, чем это было по схемам из [15, 17].

Учет изменения коэффициента перемешивания с глубиной в большой степени сглаживает большие положительные градиенты, особенно в приноверхностных слоях воды.

9. Весной и в начале лета начинается и далее развивается слой скачка температуры, который к началу осени ослабевает и постеленно исчезает. Этот вывод также подтверждается наблюдениями и здесь также имеет место хорошее количественное согласие по сравнению со схемой k = const. Таким образом, совместный учет переменности коэффициента обмена с глубиной и проникающей радиации уже в значительной степени обуславливает образование и разрушение слоя температурного скачка.

10. Подтверждается также известный факт [22, 17] о том, что вследствие совместного действия всевозможных форм теплообмена у поверхности воды здесь имеет место охлаждение почти круглый год для незамерзающих водоемов, испаряющих значительное количество в аги в течение всего года, т. е. температура на самой поверхности всеколько ниже, чем в нижележащих слоях, хотя общий поток тепла ваправ ен от поверхности вниз, к более глубоким слоям. Этот важный резульгат проливает некоторый свет на вопрос о точности определения темперагуры поверхности воды и должен быть учтен в теплобальновых расчетах и при сконструировании приборов, в частности, радиометров, для определения этой температуры (на поверхности раздела водоем — воздух), а также для измерения собственного излучения водной поверхности.

11. Наибольший интерес представляют графики на фиг. 4 и 5. На фиг. 4 хорошо видно, что увеличение коэффициента перемешивания (k_1) значительно улучшает результаты (пунктирные кривые), хож теоретические результаты не очень хорошо согласуются с данным наблюдений, представленными опытными точками (кружки и треугольнички). Сравнивая кривые на фиг. 5 между собой и с опыт-

ными данными, можно усмотреть влияние коэффициента перемешивания при одном и том же коэффициенте поглощения (кривые 1 с 2 и 3 с 4) и, наоборот, влияние закона поглощения при одном и том же коэффициенте перемешивания (кривые 1 с 3 и 2 с 4).

Наилучшее совпадение имеет место для случая 2.

Графики на фиг. 5 показывают развитие слоя скачка температуры и подтверждают вывод о том, что явление значительно лучше описывается схемой I, при совместном учете проникающей радиации с почти постоянным коэффициентом поглощения и турбулентного перемешивания с переменным по глубине коэффициентом обмена.

12. Можно привести в другие менее значительные выводы, но за недостатком места ограничимся приведенными выше. Отметим, что согласие теории с данными фактических наблюдений может быть в известной степени улучшено, если снять допущение о постоянстве температуры воды у дна водоема. Даже в достаточно глубоких водоемах температура воды у дна несколько меняется в течение года (2—6°С), если же глубина имеет порядок мощности слоя скачка, тогда изменения температуры воды у дна значительно большие и должны быть учтены.

Среднее годовое значение р для всех вертикалей меньше единицы и обнаруживает хорошо выраженную связь с глубиной. Графики на фиг. 7 показывают, во-первых, что вертикаль глубиной 36—37 м достаточно хорошо характеризует годовой ход средней по всему озеру величины р. Отметим, что средняя глубина озера по давным на 1956—60 гг примерно того же порядка.

Эго обстоятельство может быть использовано при расчетах теплообмена в воде. Кривая 2 на фиг. 7 показывает, что среднее годовое значение μ с увеличением глубины уменьшается от $\mu=1,0$ для точки I (глубина 18 м) до $\mu=0,78$ для точки 3 (глубина 75 м). Среднее годовое значение по всему озеру получается равным 0,86.

Институт водных проблем АН Армянской ССР

Поступила 20 X 1962

Ա. Մ. Մխիթաբյան, Մ. Գ. Գաղոջանյան

ՋՐԱՄԲԱՐՆԵՐԻ ՋԵՐՄԱՍՏԻՃԱՆԻ ՄԱՍԻՆ

UUTONONFU

Հորվածում ցույց է տրվում, որ ջերմահաղորդականության ընդհանուր
(1.1) հավասարումը որոշ դեպքերում ջրամբարի ջերմասաիձանի ուղղաձիգ
բաշխումը որոշելու համար կարելի է բերել (1.3) տեսքին, որտեղ վերջին անգամը հաշվի է առնում արևի հառազայիային էներդիայի կլանումը ջրի կողժից օթափանցիկ» ջրամբարների համար։ «Գղաոր» ջրամբարների համար այդ
քներդիան կլանվում է վերին բարակ շերտերում, ուսաի հավասարման մեջ կաթող է հաշվի չառնվել։ Ընդունելով տուրրուլենա փոխանակման դործակցի
համար (1.4) արտահայտությունը, ներկայացնելով ջերմաստիձանը (1.5)
տեսքով և անցնելով (1.8) չափաղուրկ մեծություններին, հավասարումը բերփոմ է (1.10) տեսքին։ Նախնական պայմանները բացակայում են, քանի որ
որտնվում է ըստ ժամանակի պարբերական լուծում, իսկ սահմանային պայժաններն ունեն (1.11) տեսքը։ Խնդրի լուծումն այս դեպքում ստացվում է
(1.18) և (1.19) տեսքով։ Ինտեղըման հաստատունները որոշվում են (1.24)-ից։

Հաջորդ պարադրաֆում բերվում է նույն խնդրի լուծումն այն դեպքում, երբ տուրբուլենտականության դործակիցը կախված է ինչպես խորությունից, այնպես էլ ժամանակից՝ (2.1) տեսթով։ Հավասարումն ունի (2.2) տեսքը։

Անցնելով նոր փոփոխականի ըստ (2.3)-ի, հավասարմանը տրվում է (24) անագը, որը ճշաունկամբ համընկնում է (1.10)-ի հետ, միայն Հնորմալ» ժամանակի փոխարեն այստեղ մտնում է «դեֆորմացված» ժամանակը։ Սահմանային պայմանները մնում են նույնը, բացի (1.11)-ի 1-ից, որը (1.12)-ի փոխարհն ընդունում է (2.8) տեսթը։ Ալնուհետև բերվում է ջերմաստիճանի ստացիոնար մասի խնդրի լուծոմը, որն ունի (2.10) տեսքը։ Հաջորդ պարադրաֆում բերվում են օրինակների հայվարկներ և արդյունըները համեմատվում են փորձնական ավյալների հետ, վերջում բերվում են եդրակացությունհեր։ Հաշվարկների համար անհրաժեշտ տվյալները բերվում են ազյուսակ 1-ում։ Ստացիոնար չերմաստի≲անի հաշվարկի արդյունքները գծ. 3-ում ներկայացված են՝ հոծ գծերով տեսական արդյունըները իսկ հռանկյունի, շրրլանաձև և խաչաձև կևտերով-փորձնական տվյալները։ Գծ. Գծ. 4-ում և 5-ում հերկալացված են չերմաստիճանի պրոֆիլները տարբեր ամիսների համար։ Տեսական արդյունըները բավարար չափով համընկնում են փորձնական տվյալների հետ։ Հաշվարկների արդյունըները ցույց են տալիս, որ Ռափանցիկ ջրամբարների համար անհաժեշտ է հաշվի առնել ջրում կլանվող արեգակնային ռադիացիան, կլանման հաստատուն գործակցով և տուրբուլենտ փոխանակման դործակցի փոփոխություններն՝ ըստ խորության։

ЛИТЕРАТУРА

- Айнбунд М. М. К вопросу о термическом режиме оз. Севан. "Результаты комплексных исследований по Севанской проблеме", т. І. Изд. АН АрмССР, Ереван, 1961.
- Башкирцева В. А. Проникновение дневного света в глубины моря. Тр. Морск. Научи. Ин-та, т. IV, № 2, 1929.
- Браславский А. П., Петровская А. Я. К вопросу о вертикальном распределении температуры в поверхностных слоях воды, Матеор, и гидр., № 2, 1951.

- Браславский А. П., Викулина З. А. Нормы испарения с поверхности водохранилища, Гидрометеоиздат, 1954.
- Гаевский В. Л. К вопросу о роли альбедо в формировании радиационного режима поверхности. Тр. ГГО, вып. 39, 1953.
- 6. Грищенко Д. Л. Альбедо и радиационный баланс моря. Тр. ГГО, вып. 46, 1955.
- Давидов В. К. Термика оз. Севан. Материалы по исследованию оз. Севан, ч. II, вып. 1. Гидрометеоиздат, 1933.
- Зайков Б. Д. Истарение с водной поверхности прудов и малых подохранилищ из территории СССР. Тр. ГГИ, вып. 21, 1949.
- Иванова З. С. Влияние изменения коэффициента турбулентного обмена тепла на распространение температурных колебаний в море. Автореферат диссертации. Морск. гидрофиз. ин-т. М., 1954.
- 10. Кириллова Т. В. Радиационный баланс оз. Севан. Тр. ГГО, вып. 78, 1958.
- Кириллова Т. В. и Бюриг Р. Ф. О результатах измерения подводной радиации. Тр. ГГО, вып. 78, 1958.
- Киткин П. А. Поперечная циркуляция в ветровом течения и глубина перемешивания в устойчиво стратифицированном море, Тр. ГОИН, вып. II, 1949.
- Колесников А. Г. Вычисление суточного хода температуры поверхности мора. ДАН СССР, 57, № 5, 1947.
- Константинов А. Р. и Федоров Т. Г. Термический режим Валдайского озера и распределение метеоэлементов над его поверхностью. Тр. ГГИ, вып. 76, 1960.
- Мхитарян А. М. К оценке минимальной глубины оз. Севан с точки зреняя испарения. Изв. АН АрмССР, сер. техн. наук, 11, № 5, 1958.
- Мхитарян А. М. Испарение с поверхности оз. Севан. "Результаты комплексных исследований по Севанской проблеме", т. І. Изд. АН АрмССР, Ереван, 1961.
- 17. Мхитарян А. М. О минимальной глубине оз Севан. Там же.
- Россолимо Л. Л. Некоторые особенности температурного режима малых озер. Сб. "Малые водоемы рави, обл. СССР и их использование". Гидрометеоиздат, 1961.
- Самойленко В. С. Формирование температурного режима морей. Гидрометеондат., 1959.
- Тимофеев М. П. О методике расчета температуры водоемов. Метеор. и гидр., № 12, 1958.
- Тимофеев М. П. О связи между метеорологическими условинии и температурой поверхности водоемов. Тр. Лабор-рии озероведения АН СССР, 11, 1989.
- Тимофеев М. П. (ред.). Метеорологический режим оз. Севан. Гидрометеоиздат. 1960.
- Товбин Н. В. О температуре на поверхности раздела водоем—воздух. Тр. ин-та Гидробиологии АН УССР, 1949.
- Цикунов В. А. К теории формирования температурного скачка в море. Тр. ГОИН, вып. 29, 1955.
- Штокман В. Б. Вертикальное распределение тепловых воли в море и косвенные методы определения коэффициента теплопроводности. Тр. ин-та океанология АН СССР, вып. 1, 1946.
- 26. Япке Е. и Эмде Ф Таблицы функций, ОГИЗ, М.-Л., 1948.